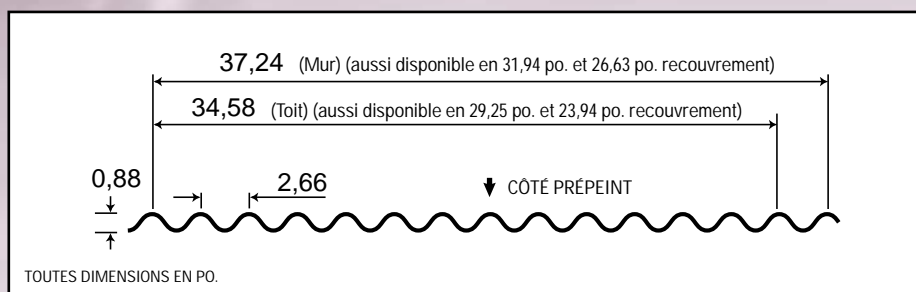


IMPÉRIAL



Propriétés physiques

(Par pied de largeur)

| Épaisseur | Masse G90 | Force de rendement | Modules de section | | Déflexion moment d'inertie à mi-portée (po. ⁴) | Données d'écrasement de l'âme spécifiées (lb) | | | | |
|-----------|------------|-----------------------|-------------------------------|-----------------------------|--|---|-----|-----|-----|---|
| | | | Mi-portée (po. ³) | Support (po. ³) | | Pe1 | Pe2 | Pi1 | Pi2 | |
| Calibre | Base (po.) | (lb/pi ²) | ksi | (po. ³) | (po. ³) | | | | | |
| 26 | 0,018 | 1,06 | 33 | 0,057 | 0,057 | 0,025 | — | — | — | — |
| 24 | 0,024 | 1,41 | 33 | 0,074 | 0,074 | 0,033 | — | — | — | — |
| 22 | 0,030 | 1,71 | 33 | 0,091 | 0,091 | 0,040 | — | — | — | — |
| 20 | 0,036 | 1,94 | 33 | 0,108 | 0,108 | 0,047 | — | — | — | — |
| 18 | 0,048 | 2,58 | 33 | 0,139 | 0,139 | 0,061 | — | — | — | — |

Tableau des charges

Charge maximale spécifiée uniformément répartie en lb/pi² (psf)

| Écartement des supports (pi/po) | | 1 portée | | | | | 2 portées | | | | | 3 portées | | | | |
|---------------------------------|---|---|-------|-------|-------|-------|---|-------|-------|-------|-------|---|-------|-------|-------|-------|
| | | Épaisseur nominale de l'acier de base (po.) | | | | | Épaisseur nominale de l'acier de base (po.) | | | | | Épaisseur nominale de l'acier de base (po.) | | | | |
| | | 0,018 | 0,024 | 0,030 | 0,036 | 0,048 | 0,018 | 0,024 | 0,030 | 0,036 | 0,048 | 0,018 | 0,024 | 0,030 | 0,036 | 0,048 |
| 4-0 | B | 47 | 61 | 75 | 89 | 114 | 47 | 61 | 75 | 89 | 114 | 58 | 77 | 94 | 111 | 143 |
| | D | 34 | 44 | 54 | 64 | 83 | S | S | S | S | S | S | S | S | S | S |
| 4-6 | B | 37 | 48 | 59 | 70 | 90 | 37 | 48 | 59 | 70 | 90 | 46 | 61 | 74 | 88 | 113 |
| | D | 24 | 31 | 38 | 45 | 58 | S | S | S | S | S | 45 | 59 | 72 | 85 | 110 |
| 5-0 | B | 30 | 39 | 48 | 57 | 73 | 30 | 39 | 48 | 57 | 73 | 37 | 49 | 60 | 71 | 92 |
| | D | 17 | 23 | 28 | 33 | 42 | S | S | S | S | S | 33 | 43 | 53 | 62 | 80 |
| 5-6 | B | 25 | 32 | 40 | 47 | 61 | 25 | 32 | 40 | 47 | 61 | 31 | 41 | 50 | 59 | 76 |
| | D | 13 | 17 | 21 | 25 | 32 | S | S | S | S | S | 25 | 32 | 40 | 47 | 60 |
| 6-0 | B | 21 | 27 | 33 | 39 | 51 | 21 | 27 | 33 | 39 | 51 | 26 | 34 | 42 | 49 | 64 |
| | D | 10 | 13 | 16 | 19 | 25 | S | S | S | S | S | 19 | 25 | 30 | 36 | 46 |
| 6-6 | B | — | 23 | 28 | 34 | 43 | — | 23 | 29 | 34 | 43 | 22 | 29 | 36 | 42 | 54 |
| | D | — | 10 | 13 | 15 | 19 | — | S | S | S | S | 15 | 20 | 24 | 28 | 36 |
| 7-0 | B | — | 20 | 25 | 29 | 37 | — | 20 | 25 | 29 | 37 | — | 25 | 31 | 36 | 47 |
| | D | — | 8 | 10 | 12 | 15 | — | 20 | 24 | 29 | 37 | — | 16 | 19 | 23 | 29 |
| 7-6 | B | — | — | 21 | 25 | 33 | — | — | 21 | 25 | 33 | — | 22 | 27 | 32 | 41 |
| | D | — | — | 8 | 10 | 13 | — | — | 20 | 23 | 30 | — | 13 | 16 | 18 | 24 |
| 8-0 | B | — | — | — | 22 | 29 | — | — | — | 22 | 29 | — | — | 24 | 28 | 36 |
| | D | — | — | — | 8 | 10 | — | — | — | 19 | 25 | — | — | 13 | 15 | 20 |
| 8-6 | B | — | — | — | 20 | 25 | — | — | — | 20 | 25 | — | — | 21 | 25 | 32 |
| | D | — | — | — | 7 | 9 | — | — | — | 16 | 21 | — | — | 11 | 13 | 16 |
| 9-0 | B | — | — | — | — | 23 | — | — | — | — | 23 | — | — | — | 22 | 28 |
| | D | — | — | — | — | 7 | — | — | — | — | 17 | — | — | — | 11 | 14 |

Calcul aux états limites

Note :

1. Les charges sont basées sur de l'acier conformément à ASTM A653. Pour une résistance à la traction minimale, voir notes au concepteur.

2. Les propriétés de section sont en conformité avec le CSA-S136-94.

3. Les valeurs de la rangée «B» sont les charges maximales spécifiées uniformément réparties en fonction de la résistance, qui doivent être égales ou plus grandes que la (surcharge spécifiée + 0,833 X la charge permanente spécifiée).

4. Les valeurs de la rangée «D» sont les charges maximales spécifiées uniformément réparties en fonction d'un fléchissement de L/180 de la portée. «S» indique que c'est la charge pour la résistance qui gouverne.

5. Contacter le département des ventes pour les couleurs et épaisseurs en inventaire.

6. Le tableau des charges contenu dans cette feuille de données a été préparée par Dr. R.M. Schuster, ing. P., professeur d'ingénierie en structure, université de Waterloo, Ontario, Canada.

